

기계지역에 분포하는 A-type 화강암의 암석학적 특징

박선영*, 황병훈, 김종선, 양경희, 이준동, 진미정
부산대학교 지구환경시스템학부 지질환경과학전공(nes144@pusan.ac.kr)

1. 서론

포항시 기계면 동부에 분포하고 있는 화강암체는 21.3km의 우수향 변이를 보이는 양산 단층을 중심으로 양측지괴에 분포하는 화강암체를 대비하는 과정에서 경주 남산 일대의 알칼리장석 화강암과 동일한 것으로 추정되어지는 알칼리장석 화강암이다(황병훈, 2004). 기계지역에 분포하는 알칼리장석 화강암과 경주 남산 일대의 알칼리 장석 화강암이 양산단층 경주 이북지역을 따라 분포한다는 사실에 근거하여, 이 지역에 약 53~50Ma 전후 하여 신장 환경이 발생하였으며, 이 과정에서 기계지역에 발생한 지각 상부의 균열을 따라서 알칼리장석 화강암이 관입 정치하였을 것으로 판단된다(황병훈, 2004). 경주 지역의 알칼리장석 화강암은 확장환경을 지시하는 A형 화강암으로 알려져 있다(윤성효와 황인호, 1990; 고정선, 1994, 2001; 이미정 외, 1995; 고정선 외, 1996; Kim and Kim, 1997) 이번연구에서는 기계지역에 분포하는 알칼리장석 화강암과 경주 남산일대에 분포하는 알칼리장석 화강암의 암석기재적 특징과 주성분 및 미량성분 원소 조성을 비교 검토하였다.

2. 암석기재적 특징

기계지역의 알칼리장석 화강암은 기계면 동부의 송동, 신리, 냉수, 갈산일대에 분포하고 있다. 이 지역의 알칼리장석 화강암의 암석기재적 특징을 살펴보면 사장석이 단결정으로 거의 나타나지 않고, 석영과 정장석이 주구성광물이다. 그리고 유색 광물인 흑운모와 각섬석이 입간을 충진하는 광물로 나타나며 청색의 리벡카이트(riebeckite)와 녹색을 띠는 알프베소나이트(arfvedsonite)도 관찰할 수 있다(Fig. 1). 특히 입간충진으로 나타나는 흑운모는 Fe성분이 많은 앤나이트(annite)이다. 기계지역의 알칼리장석 화강암은 퍼싸이트내의 용리에 의해서만 대부분의 사장석 성분을 가지는 하이퍼솔버스(hypersolvus)화강암이며, 이것은 경주 남산일대의 알칼리장석 화강암의 특징과 유사하다. 그리고 이런 특징들은 A형 화강암류의 전형적인 특징 중의 하나이다.

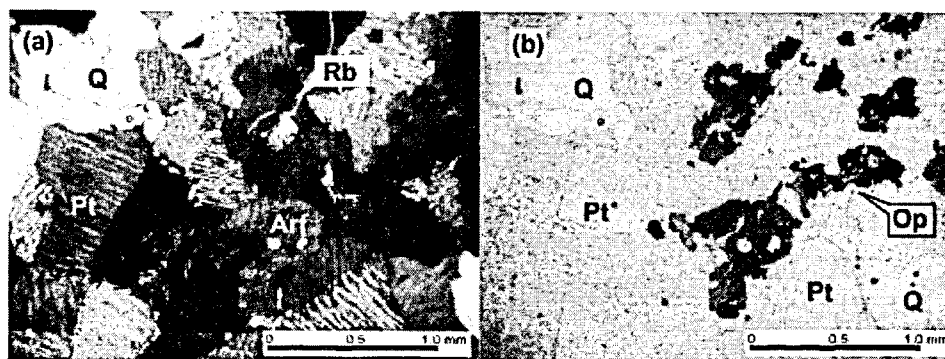


Fig. 1. Photomicrographs of Kigae A-type granite. (a): photomicrograph under crossed polars, (b):photomicrograph under open polars. Rb=Riebeckite, Arf=Arfvedsonite, Q=Quartz, Pt=Perthite, Op=Opaque minerals.

3. 지화학적 특징

기계지역의 화강암은 Fig. 2의 Whalen et. al.(1987)의 판별도에서 경주 남산의 알칼리장석 화강암과 유사한 A형 화강암 영역에 도시된다. Fig. 3의 Takahashi(1985)의 판별도에서는 $(\text{Na}_2\text{O}+\text{K}_2\text{O})/\text{Al}_2\text{O}_3(\text{mol.비})$ 가 높고 $(\text{MgO}+\text{CaO})/\text{FeO}^T$ 가 낮은 전형적인 A형 화강암 영역에 도시된다. 이 두 판별도에 의해 기계의 알칼리장석화강암과 경주남산의 알칼리장석 화강암이 서로 유사한 암체이며, 두 암체 모두 A형 화강암 영역에 도시되는 것을 확인 할 수 있다.

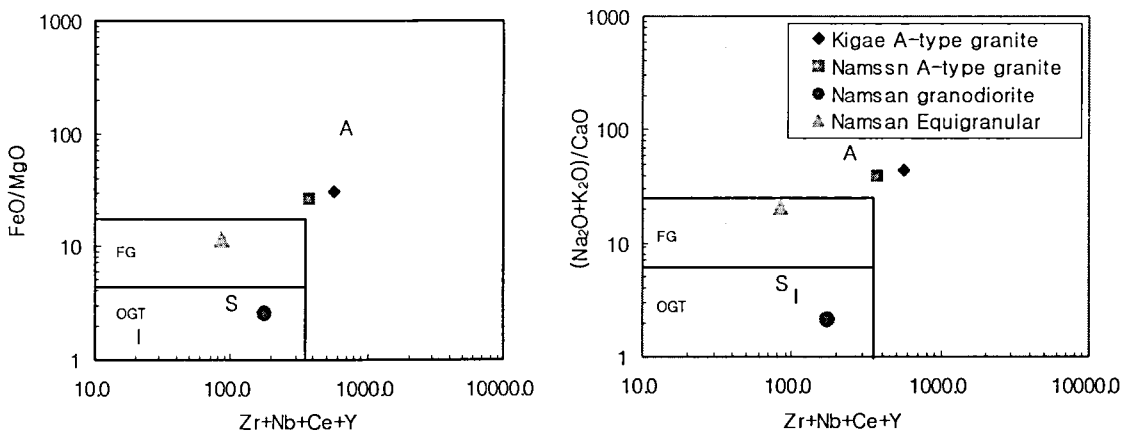


Fig. 2. FeO/MgO vs Zr+Nb+Ce+Y and $(\text{Na}_2\text{O}+\text{K}_2\text{O})/\text{CaO}$ vs. Zr+Nb+Ce+Y diagrams of the Kigae and Namsn granitic rocks(Whalen et al., 1987) Symbole : FG=fractionated felsic granites, OGT=unfractionated orogenic M-, I-, S-type granites, A=felsic A-type granite average in Australia, I=felsic I-type granite average in Australia, S=felsic S-type granite average in Australia.

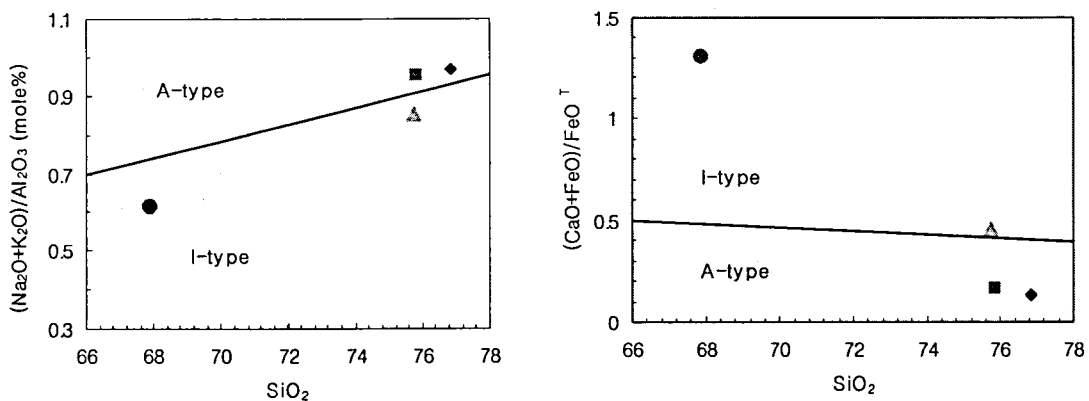


Fig. 3. $(\text{Na}_2\text{O}+\text{K}_2\text{O})/\text{Al}_2\text{O}_3$ vs. SiO_2 and $(\text{CaO}+\text{MgO})/\text{FeO}^T$ vs SiO_2 diagram for the Kigae and Namsn granite. Symbole are the same as those Fig. 2.

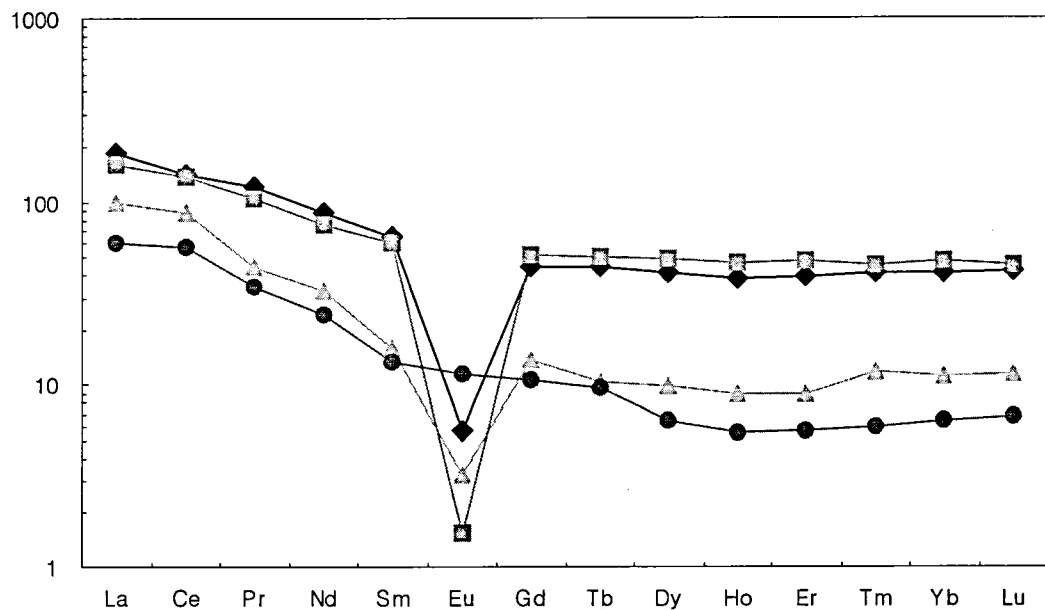


Fig. 4. Chondrite anormalized REE abundances pattern diagram(Sun, 1982). Symbole are the same asthose Fig. 2.

Fig. 4은 희토류 원소를 chondrite에 표준화시킨 것으로 희토류원소들의 패턴을 나타내 주고 있다. 알칼리장석 화강암은 다른 암상들에 비해 희토류원소 특히, 중희토류원소(HREE)가 부화된 것을 확인할 수 있고, 사장석과 친화력(compatible)이 있는 Eu의 강한 부의 이상을 보여주고 있다.

4. 결론

- 1) 기계지역에 분포하는 알칼리장석 화강암은 암석기재학적으로 사정석의 단결정이 거의 나타나지 않고, 석영 정장석만으로 구성되며, 유색광물이 입간충진으로 나타난다.
- 2) Whalen et. al.(1987)와 Takahashi(1985)의 A형 화강암과 I형 화강암을 구분하는 판별도 상에서 경주 남산의 알칼리장석과 함께 기계지역의 알칼리장석 화강암이 A형 화강암영역에 도시된다.
- 3) 희토류원소를 Chondrite에 표준화 시킨 도표에서 강한 Eu 부의 이상을 볼 수 있다.
- 4) 암석기재적, 미량원소의 분포 그리고 판별도 상에서 타나나는 특징은 기계지역에 분포하는 A형 화강암과 경주 남산일대에 분포하는 A형 화강암인 알칼리장석 화강암이 거의 유사함을 알 수 있다.

5. 참고문헌

- 고정선, 1994, 경주 남산일대의 A-type 화강암류의 지화학적 특징 및 성인, 부산대학교 교육학 석사 학위논문, 62p.
- 고정선, 2001, 경상분지내 남산 A-형 화강암과 경주 I-형 화강암류에 대한 광물학적, 지화학적 및 Sr-Nd 동 위원소 연구, 부산대학교 이학박사 학위논문(in English 조소 Korean abstract), 173p
- 윤성효, 황인호, 1990, 경주 남산일대의 화강암의 암석학 및 지구화학의 특성. 한국지구과학회지, 11(1), 51-66
- 이미정, 이종익, 이민성, 1995, 경주지역의 A-형 알킬리화강암에 대한 광물학 및 주성분원소 지구화학. 지질학회지, 31(6), 583-607
- 황병훈, 1995, 경주 남산-토함산 일원의 화강암질 암체에 관한 암석학적 연구, 부산대학교 석사 학위논문, 70p
- 황병훈, 2004, 경상분지 남부지역의 화강암질암에 대한 암석학, 동위원소 및 성인, 부산대학교 이학박사 학위 논문, 309p.
- Kim, C.S., and Kim, G.S., 1997, Petrogenesis of the early Tertiary A-type Mansan alkali granite in the Kyongsang Basin, Korea. Geoscience Journal, 1(2), 99-107